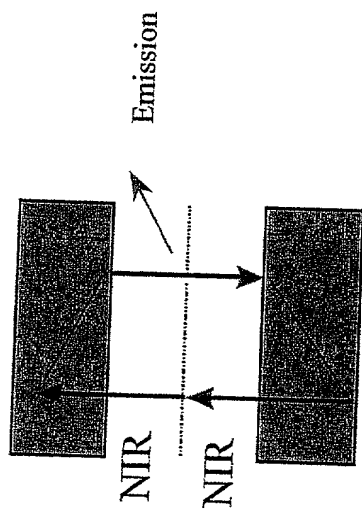


a.)



b.)

Figure: 1

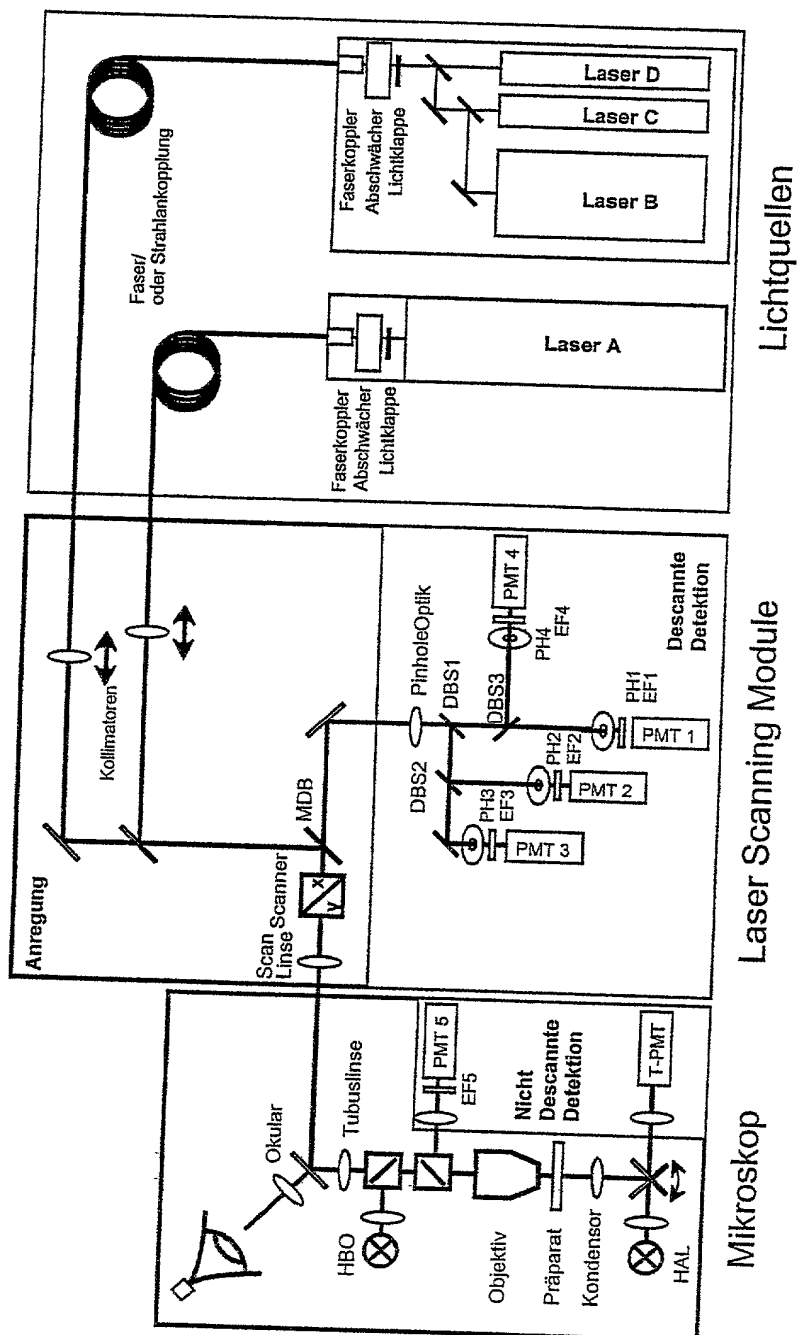
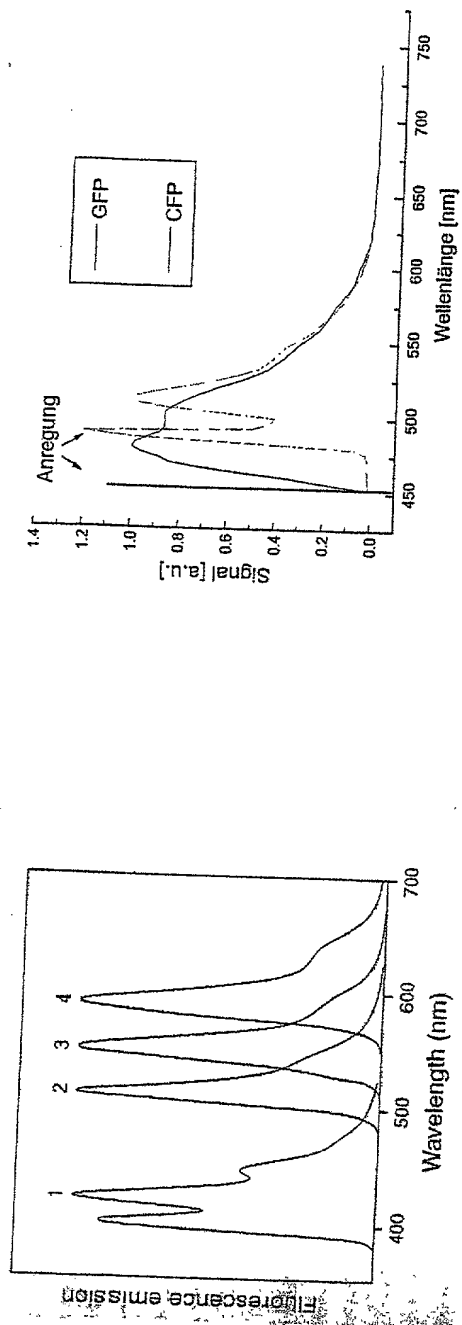
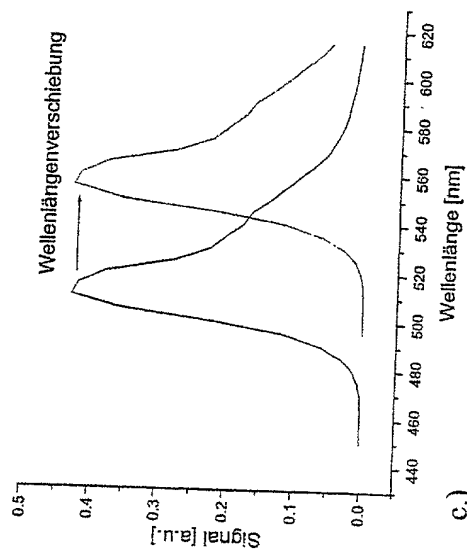


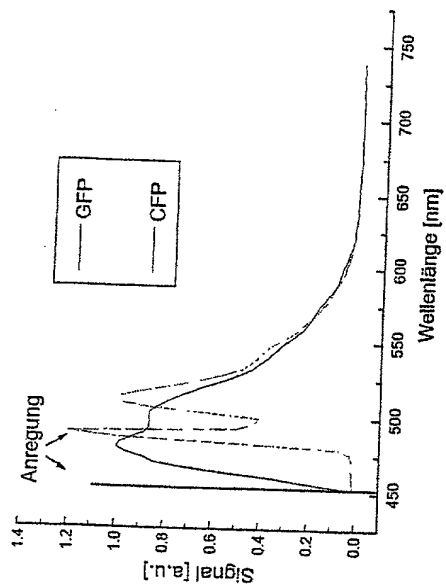
Figure: 2



a.)

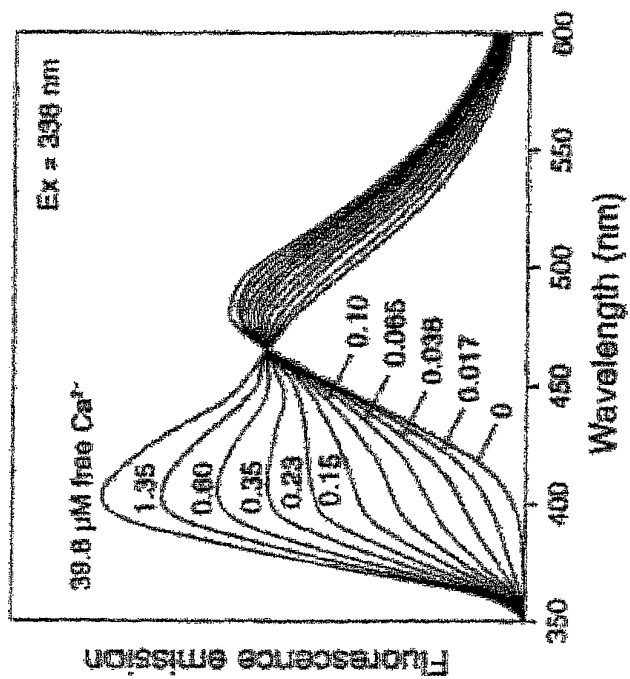


c.)

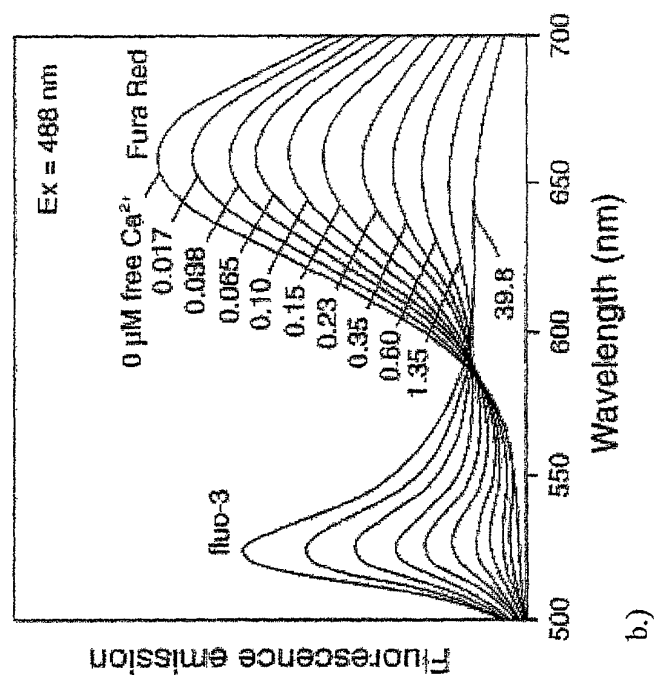


b.)

Figure: 3



a.)



b.)

Figure: 4

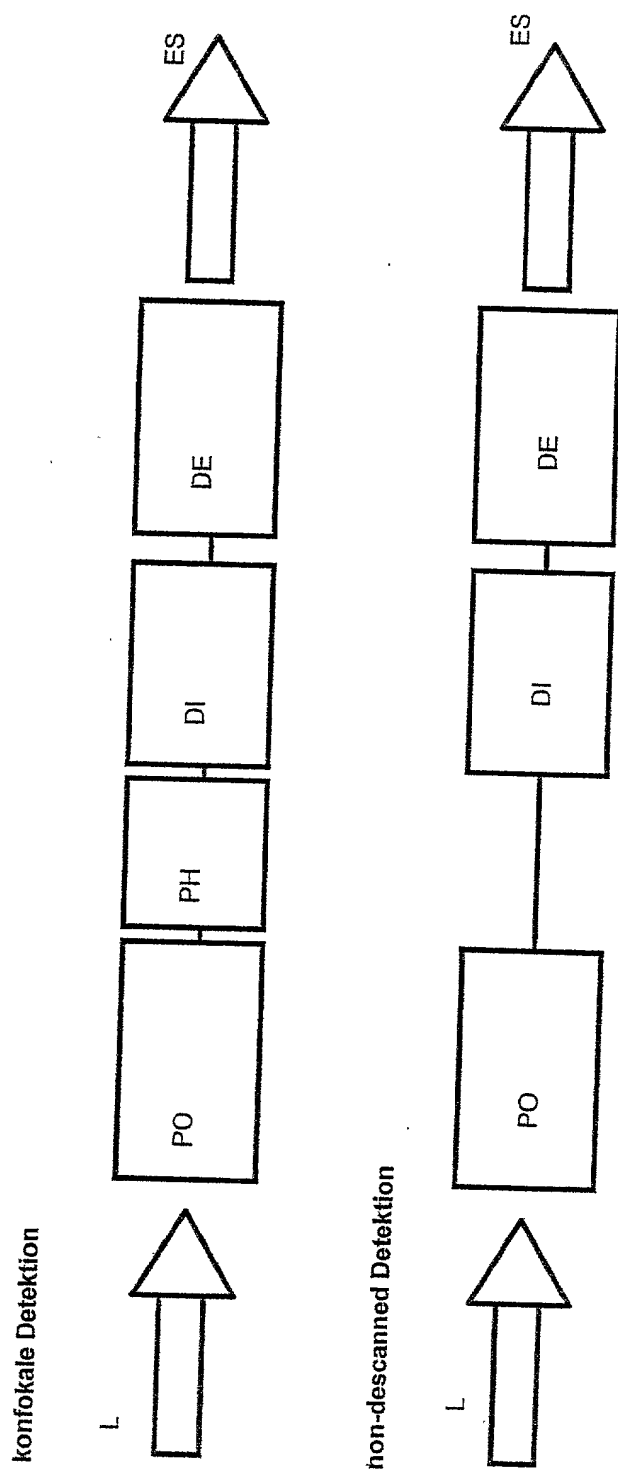


Figure: 5

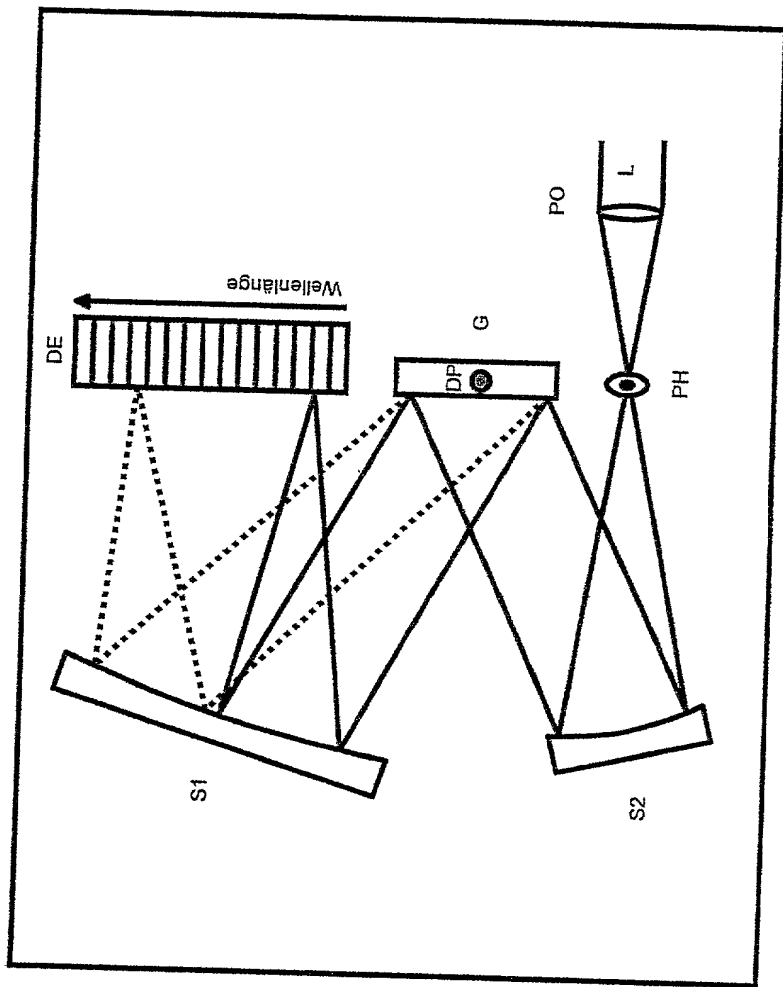


Figure: 6

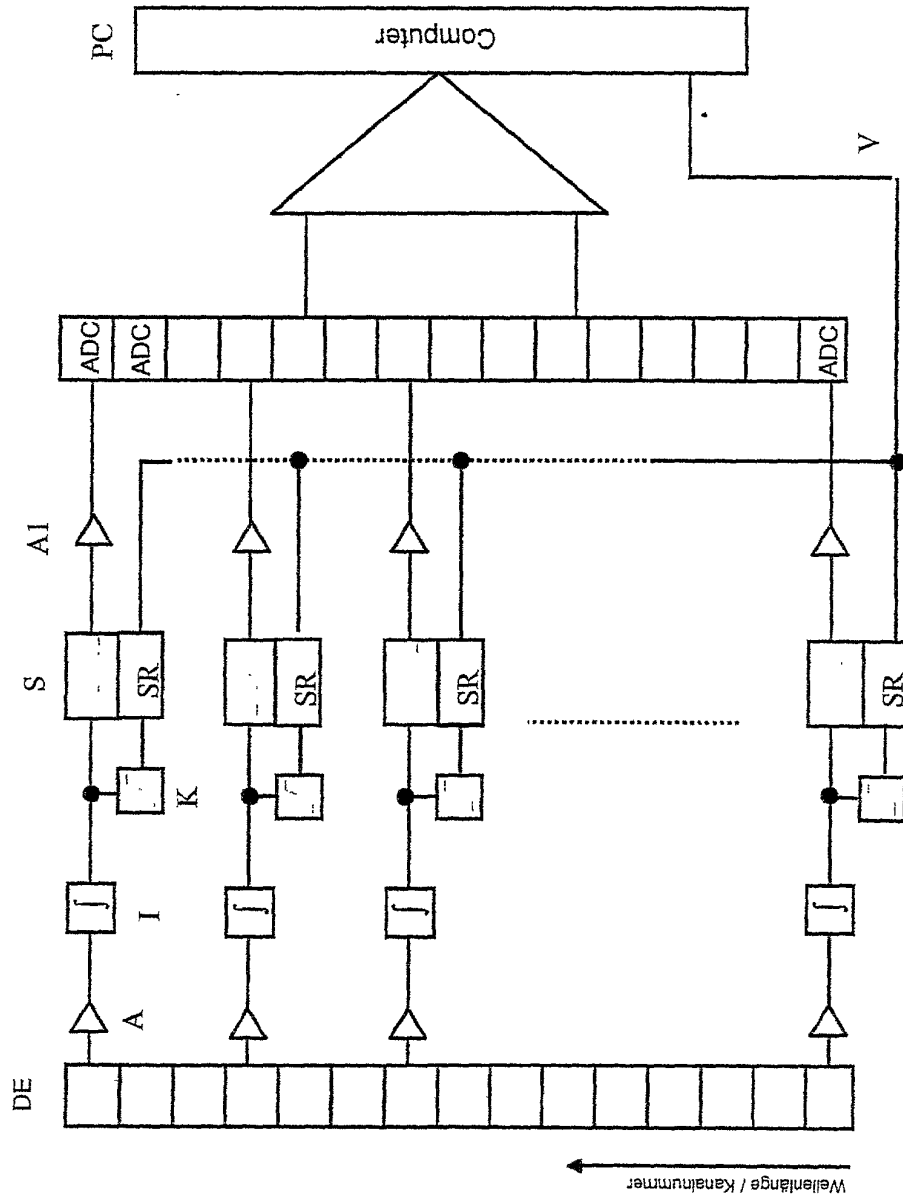
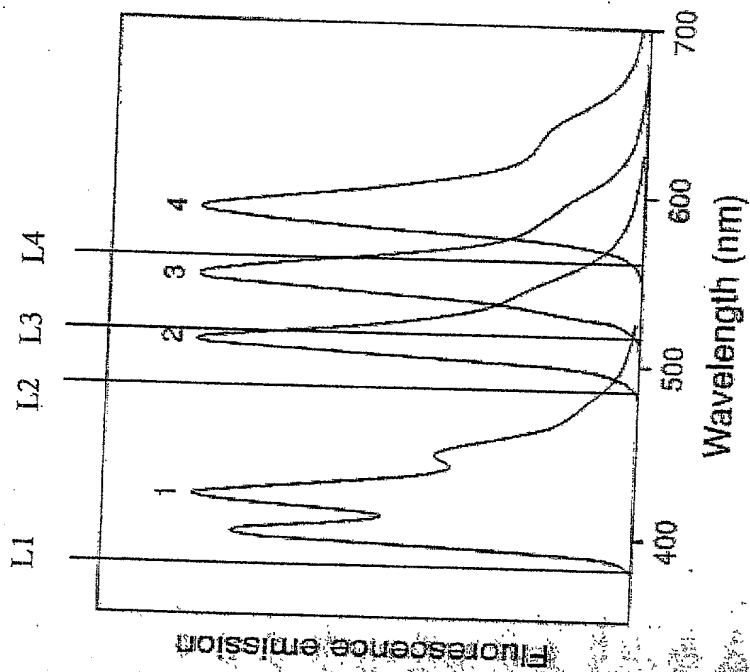


Figure: 7



b.)

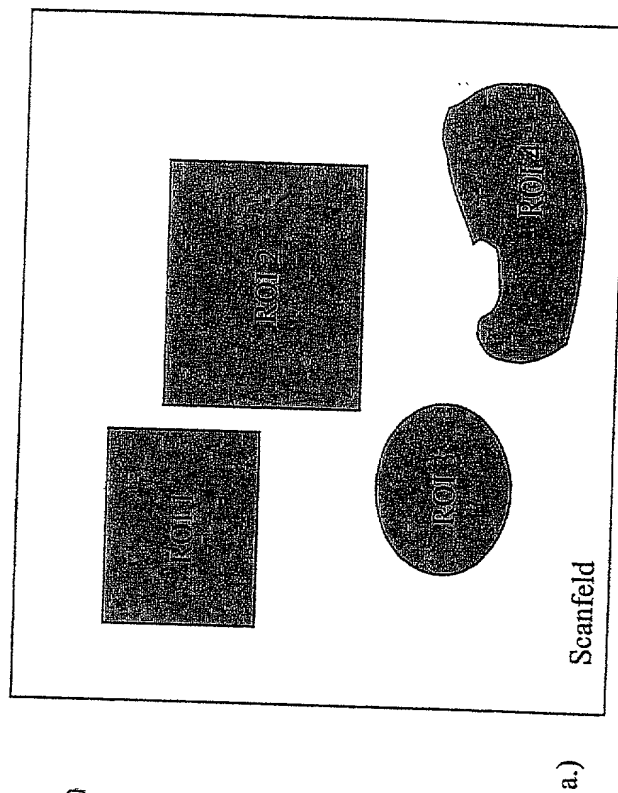


Figure: 8

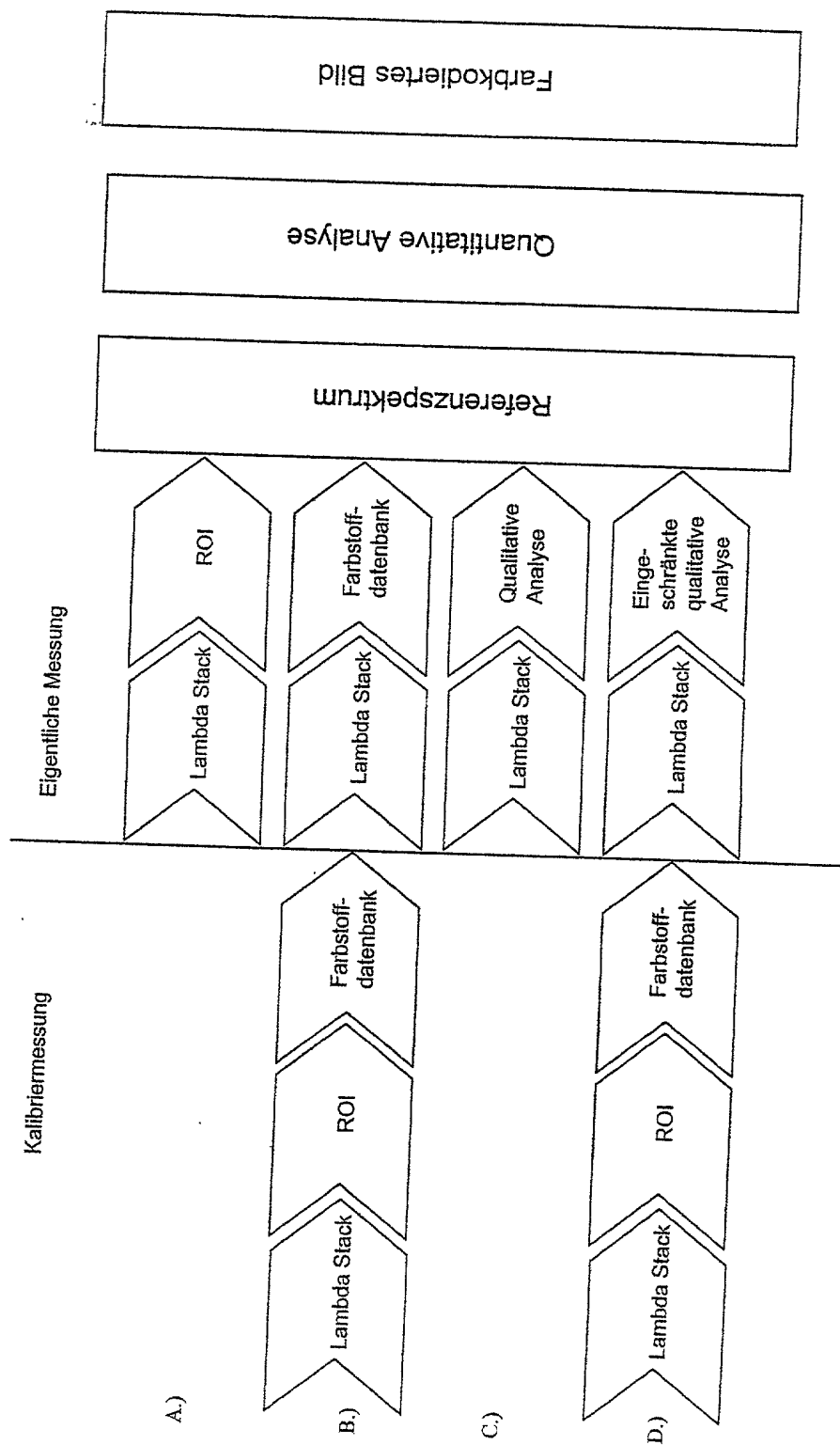


Figure: 9

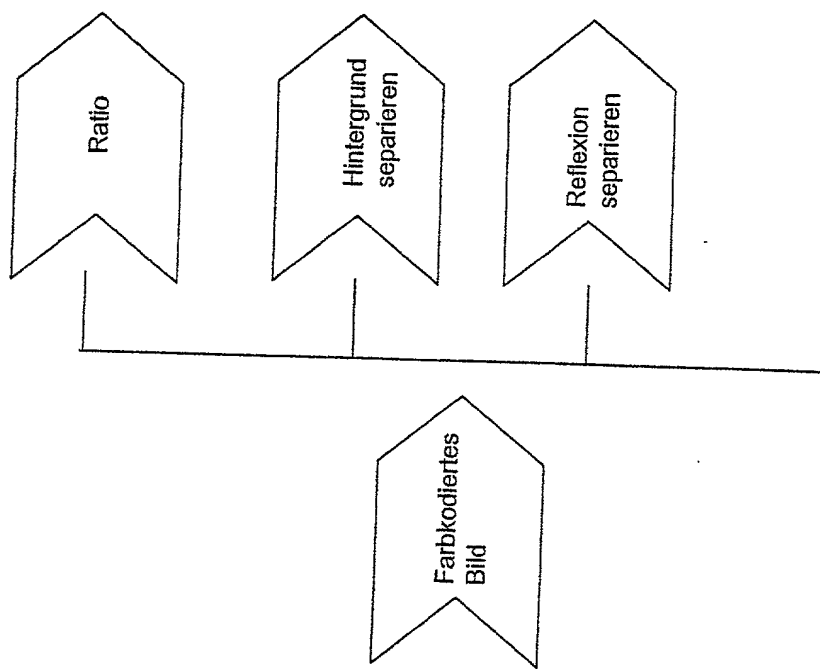


Figure: 10

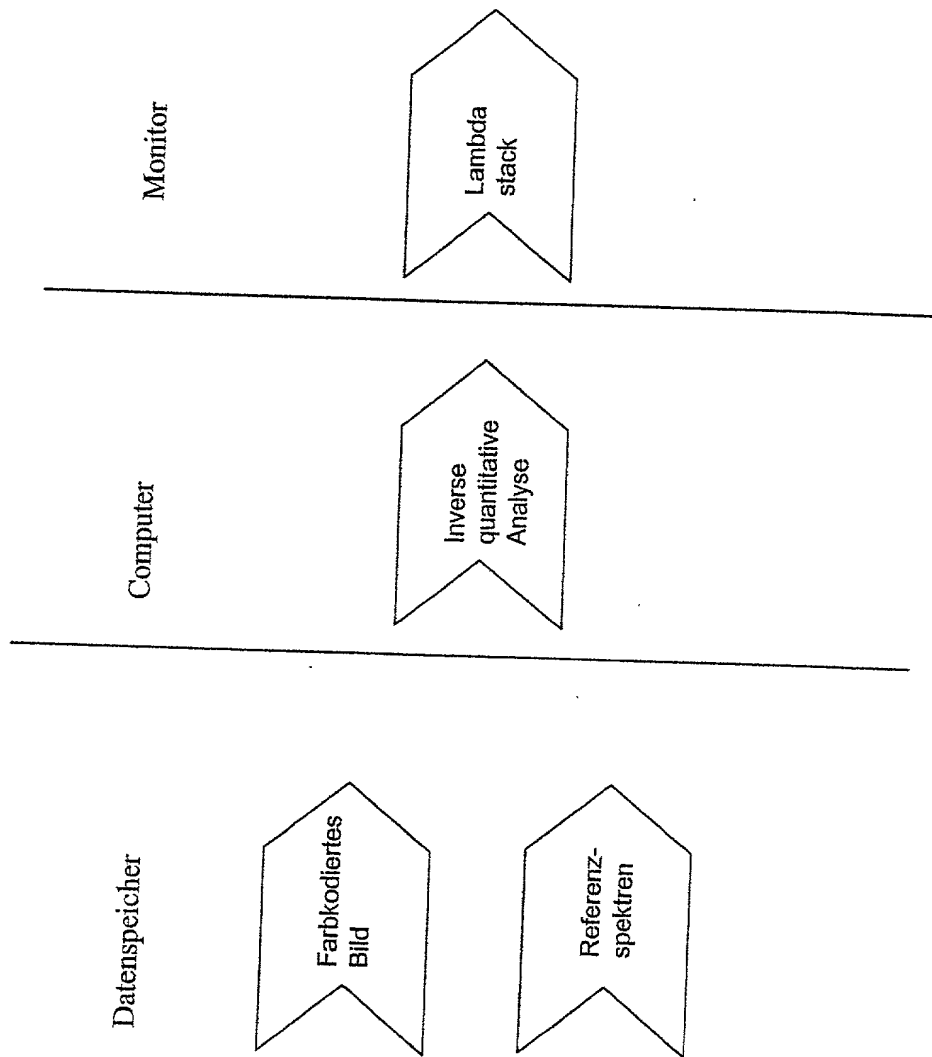
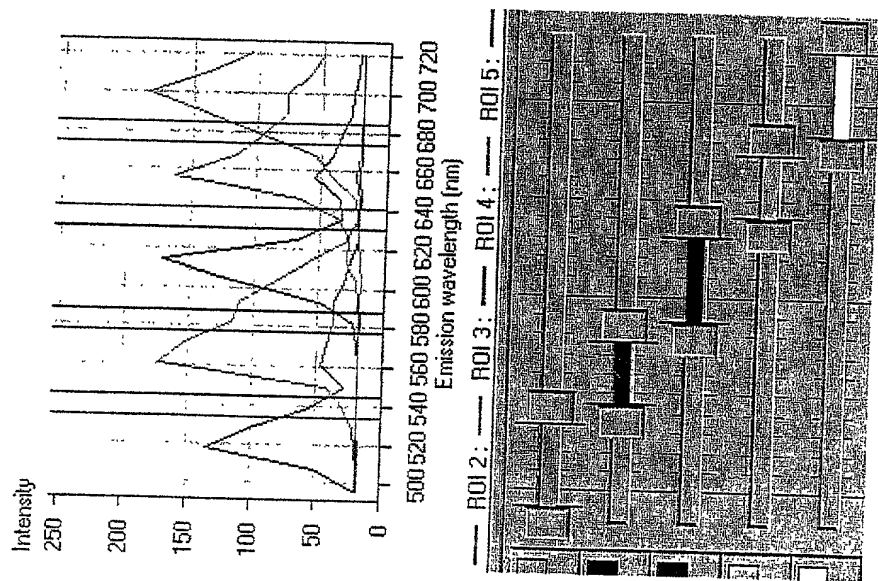
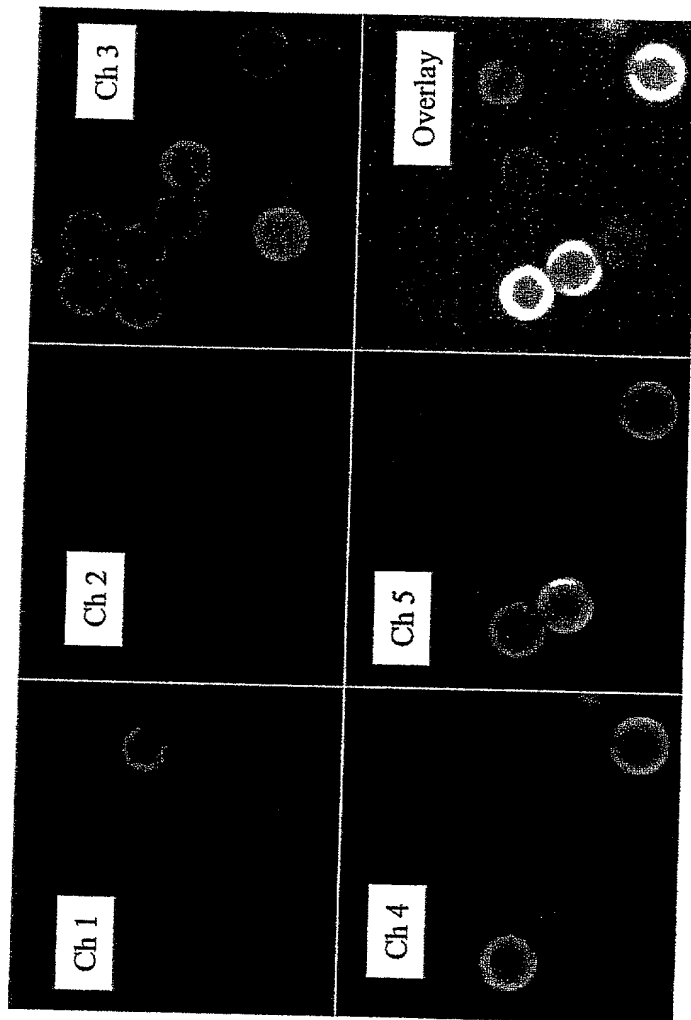


Figure: 11



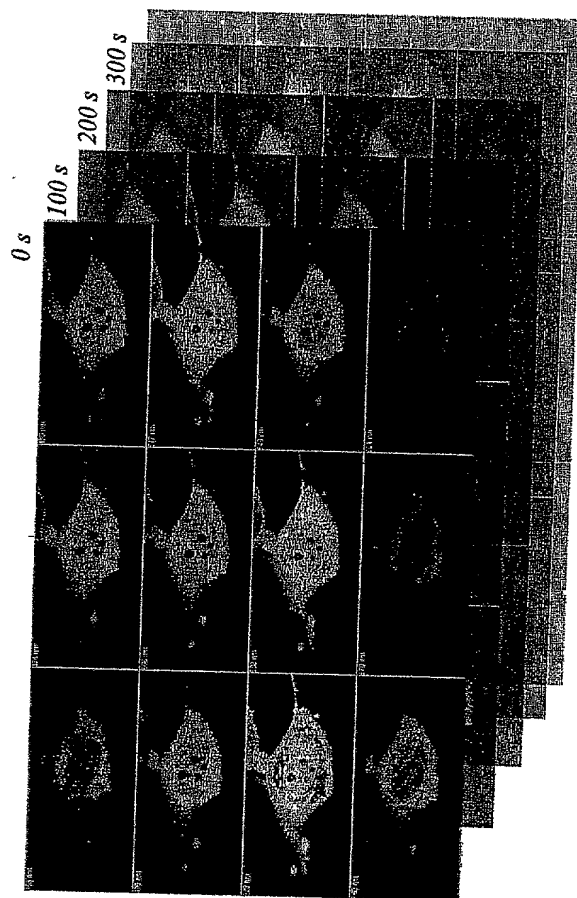
a.)



b.)

Figure: 12

A.)



B.)

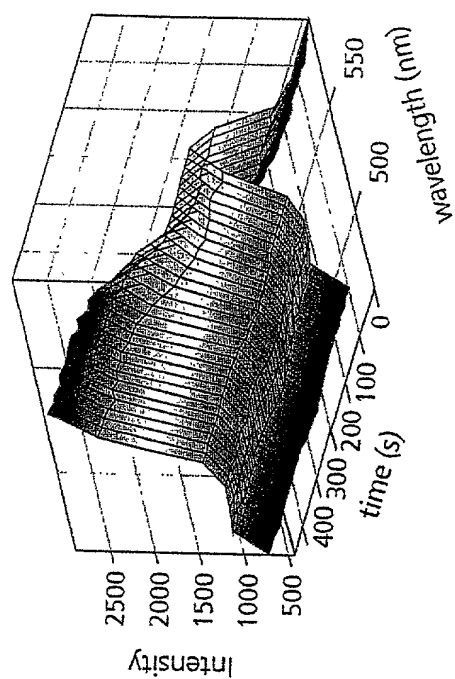


Figure: 13

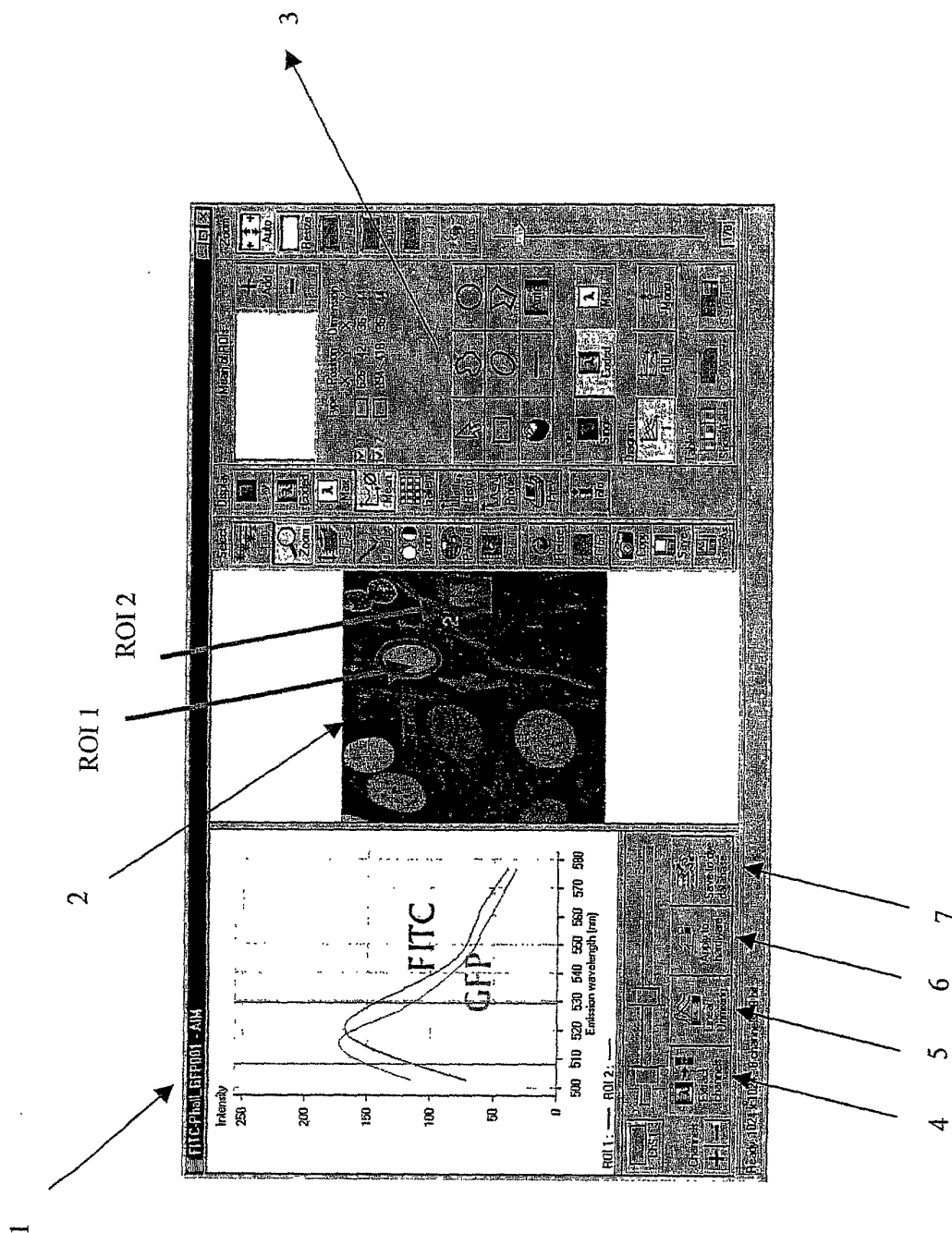
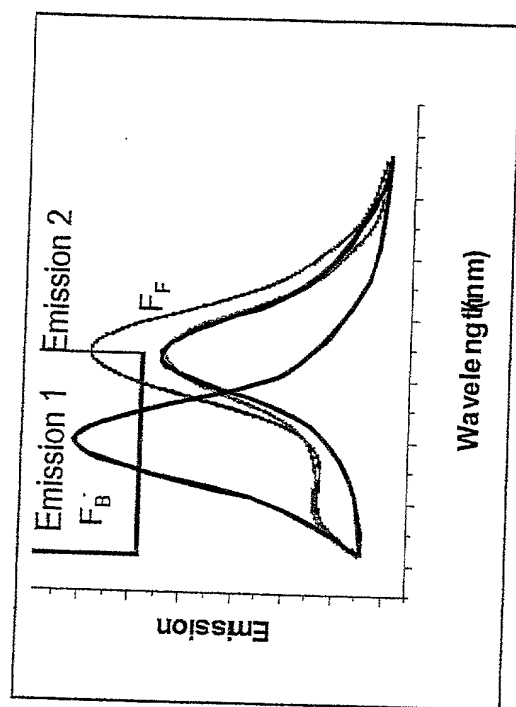
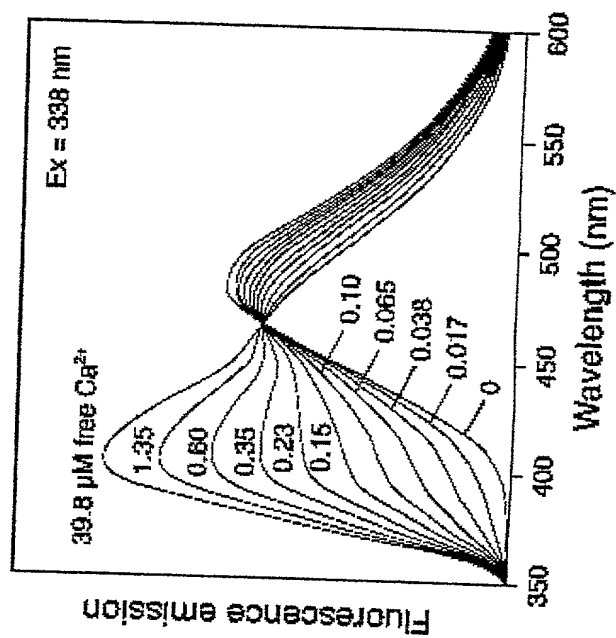


Figure: 14



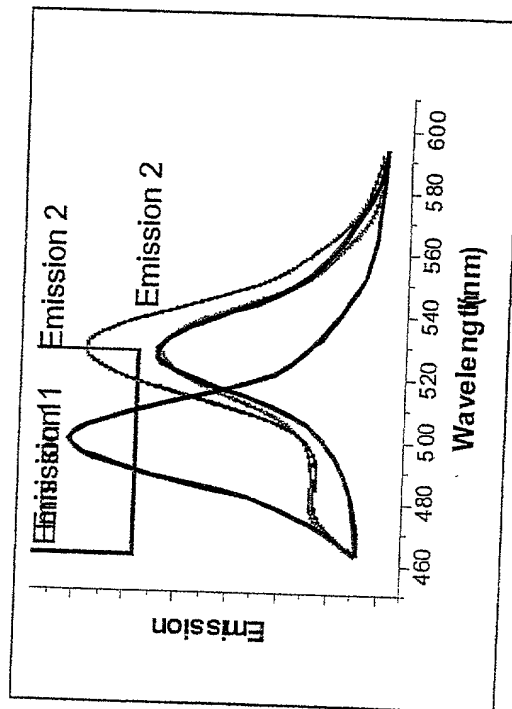
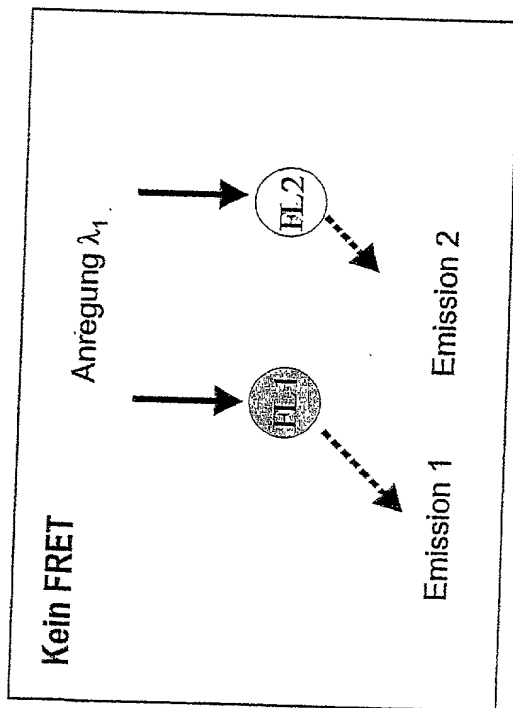
A.)



B.)

Figure: 15

A.)



B.)

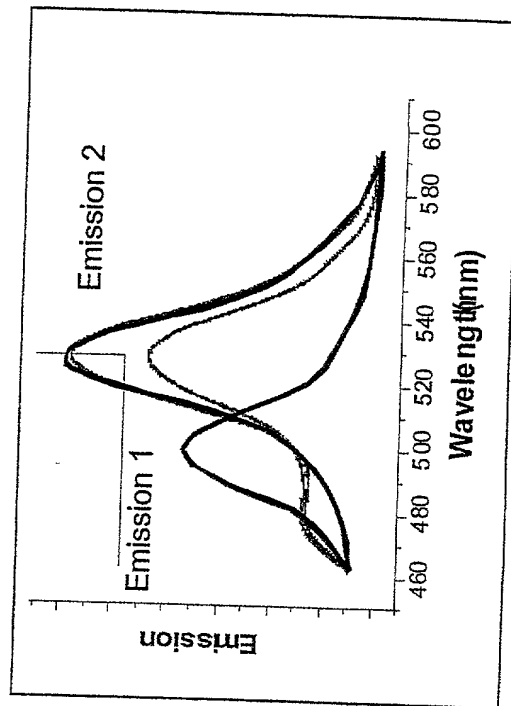
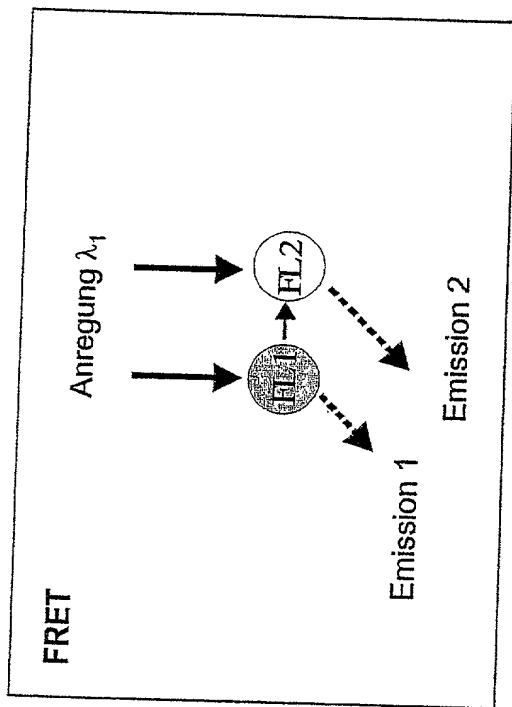
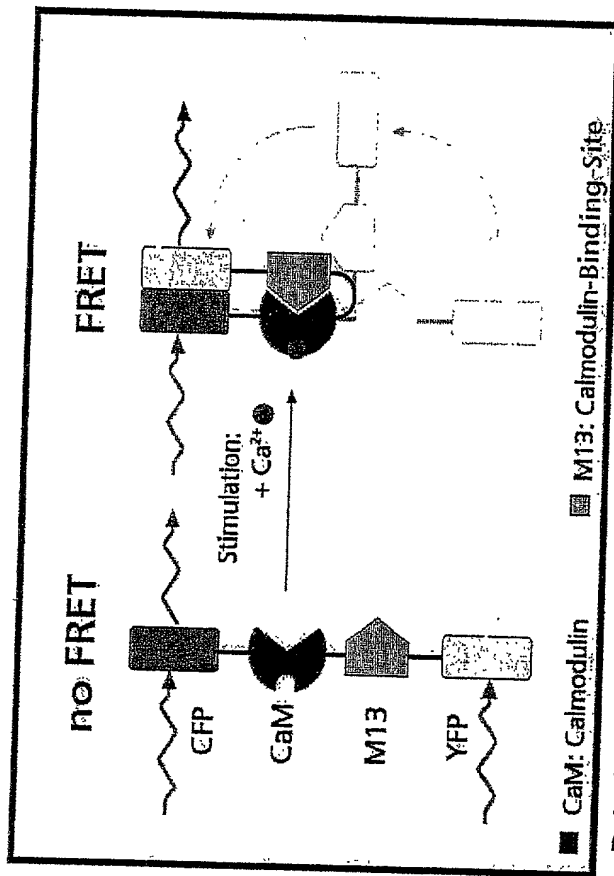


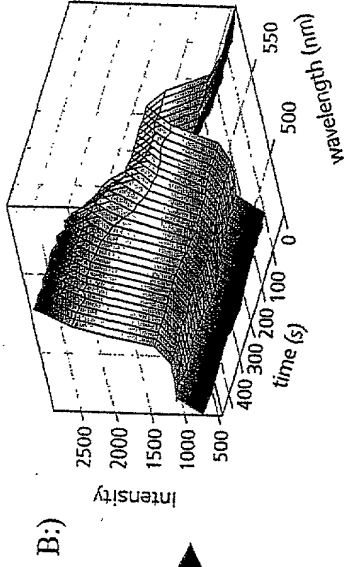
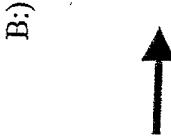
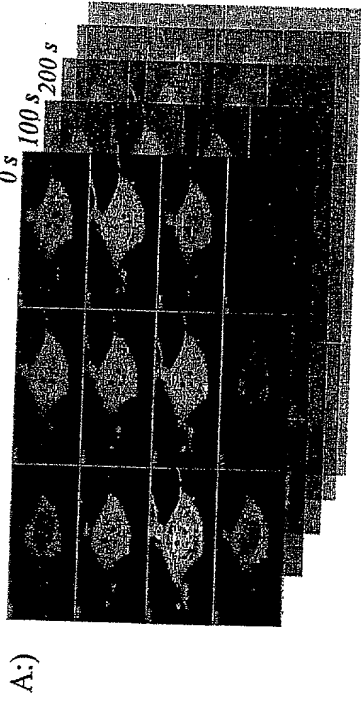
Figure: 16



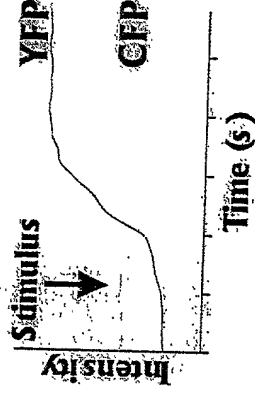
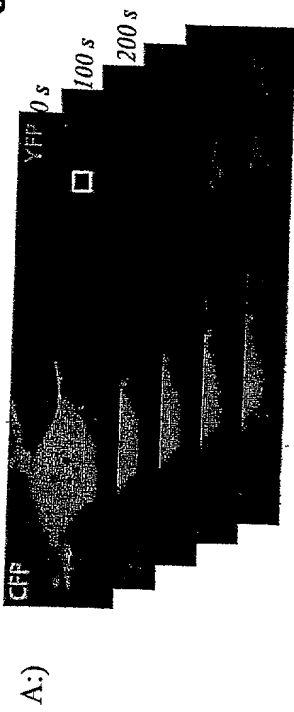
Beispiel: FRET-Sensor für Calciumkonzentrationsmessungen
Yellow Cameleon2 (Miyawaki et al. Proc Natl Acad Sci USA
96, 2135-2140, (March 1999))

Figure: 17

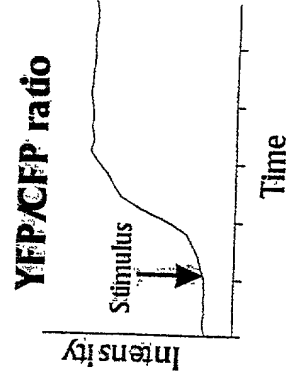
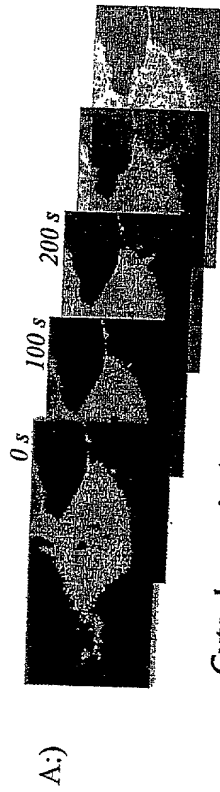
1. Serie von Lambda Stacks (xylt)



2. Serie von Bildern mit CFP- bzw. YFP-Signalen nach linearer Entmischungsanalyse



3. Serie von Ratio-Bildern (YFP/CFP)



Cytoplasmatische Expression von Yellow Cameleon2
in einer kultivierten Zelle

Figure: 18